

MATEMATICKÁ ANALÝZA PULZOVÉ VLNY

„FYZIKA, MATEMATIKA A FYZIOLOGIE POD KŘIVKOU“

Dušan Merta

Jizerky, 2010

OBSAH

1 ÚVOD

- Definice pojmu
- Fyziologické pozadí

2 KLASICKÁ MĚŘENÍ

- Matematická odbočka
- Swan-Ganzův katetr

3 PULZOVÁ VLNA

- Historie
- Fyzika a fyziologie
- Princip *LiDCOTM*

DEFINICE

PULZOVÁ KŘIVKA

Časový průběh tlakové křivky, snímaný invazivně pomocí arteriálního katetru.

TEPOVÝ OBJEM

Množství krve vypozené srdcem během jednoho stahu.

- *Stroke Volume – SV [ml]*

SRDEČNÍ VÝDEJ

Množství krve přečerpané srdcem za jednotku času (minutu).

- *Cardiac Output – CO [l/min]*
- přepočet na povrch těla → *Cardiac Index – CI [l/min/m²]*
- $CO = SV \cdot TF$ (te波vá frekvence)



DEFINICE

PULZOVÁ KŘIVKA

Časový průběh tlakové křivky, snímaný invazivně pomocí arteriálního katetru.

TEPOVÝ OBJEM

Množství krve vypozené srdcem během jednoho stahu.

- ***Stroke Volume – SV [ml]***

SRDEČNÍ VÝDEJ

Množství krve přečerpané srdcem za jednotku času (minutu).

- ***Cardiac Output – CO [l/min]***
- přepočet na povrch těla → ***Cardiac Index – CI [l/min/m²]***
- ***CO = SV · TF*** (te波vá frekvence)



DEFINICE

PULZOVÁ KŘIVKA

Časový průběh tlakové křivky, snímaný invazivně pomocí arteriálního katetru.

TEPOVÝ OBJEM

Množství krve vypozené srdcem během jednoho stahu.

- ***Stroke Volume – SV [ml]***

SRDEČNÍ VÝDEJ

Množství krve přečerpané srdcem za jednotku času (minutu).

- ***Cardiac Output – CO [l/min]***
- přepočet na povrch těla → ***Cardiac Index – CI [l/min/m²]***
- **$CO = SV \cdot TF$** (te波vá frekvence)











DEFINICE

SYSTÉMOVÁ VASKULÁRNÍ REZISTENCE – SVR

$$SVR = 80 \cdot \frac{MAP - CVP}{CO} \quad [dyn \cdot s \cdot cm^{-5}]$$

MAP ... střední arteriální tlak (*mean arterial pressure*)

CVP ... centrální žilní tlak (*central venous pressure*)

80 ... přepočet jednotek do CGS (MAP a CVP měříme v *mmHg*)

- přepočet na povrch těla

$$SVRI = 80 \cdot \frac{MAP - CVP}{CI} \quad [dyn \cdot s \cdot cm^{-5} \cdot m^2]$$

DEFINICE

SYSTÉMOVÁ VASKULÁRNÍ REZISTENCE – SVR

$$SVR = 80 \cdot \frac{MAP - CVP}{CO} \quad [dyn \cdot s \cdot cm^{-5}]$$

MAP ... střední arteriální tlak (*mean arterial pressure*)

CVP ... centrální žilní tlak (*central venous pressure*)

80 ... přepočet jednotek do CGS (MAP a CVP měříme v *mmHg*)

- přepočet na povrch těla

$$SVRI = 80 \cdot \frac{MAP - CVP}{CI} \quad [dyn \cdot s \cdot cm^{-5} \cdot m^2]$$

PROČ O TO TOLIK JDE?

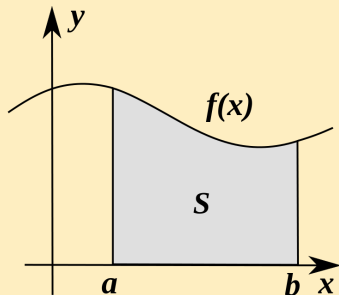
- srdeční výdej je jednou z determinat dodávky kyslíku tkáním ("delivery" – DO_2)
- dalšími jsou hladina Hb a extrakce O_2 tkáněmi
- příčina šoku
 - vysoký výdej → sepse
 - nízký výdej → „selhání pumpy“

KLASICKÁ MĚŘENÍ

- metody založené na Dopplerově efektu
- impedanční kardiografie
- **zachování hmoty – Fickův princip** 
- **diluce indikátoru** (SG katetr)
- ...

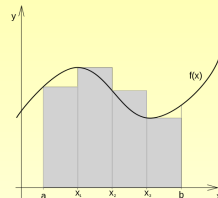
Matematická odbočka

URČITÝ INTEGRÁL

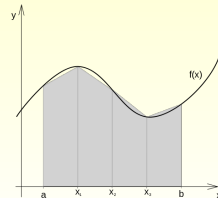


$$S = \int_a^b f(x) dx$$

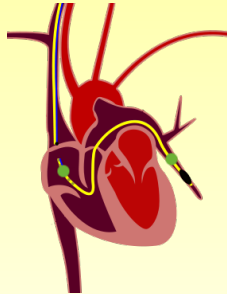
Obdélníková metoda



Lichoběžníková metoda



SWAN-GANZŮV PLICNICOVÝ KATETR



$$\frac{dQ}{dt} = -FC(t)$$

$$\frac{dC}{dt} = -\frac{FC(t)}{V}$$

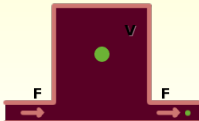
$$C(t) = C(0)e^{-\frac{F}{V}t}$$

$$Q_{t_1, t_2} = \int_{t_1}^{t_2} F(t)C(t)dt$$

$$Q = F \int_0^{\infty} C(t)dt$$

$$F = \frac{Q}{\int_0^{\infty} C(t)dt}$$

Stewart-Hamiltonova r-ce



- indikátory – indocyaninová zeleň, **teplota**
- POZOR! – recirkulace
- rizika SG katetru

PULZOVÁ VLNA

HISTORIE

- 1899 – *Windkessel* model cirkulace (Otto Frank) ▶ WM
- 1904 – tepový objem je úměrný tlaku (Erlanger & Hooker)
- 1904 – nutnost kalibrace nezávislou metodou měření CO (Wezler & Bogler)
- 1970 – plocha pod systolickou částí křivky (Kouchoukos)
- 1993 – plocha pod systolickou částí s korekčním faktorem – 3 kompartmentový Windkessel Model (Wesseling & Jansen)

PULZOVÁ VLNA

HISTORIE

- 1899 – *Windkessel* model cirkulace (Otto Frank) ▶ WM
- 1904 – tepový objem je úměrný tlaku (Erlanger & Hooker)
- 1904 – nutnost kalibrace nezávislou metodou měření CO (Wezler & Bogler)
- 1970 – plocha pod systolickou částí křivky (Kouchoukos)
- 1993 – plocha pod systolickou částí s korekčním faktorem – 3 kompartmentový Windkessel Model (Wesseling & Jansen)

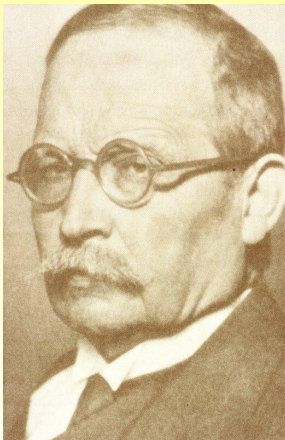
PULZOVÁ VLNA

HISTORIE

- 1899 – *Windkessel* model cirkulace (Otto Frank) ▶ WM
- 1904 – tepový objem je úměrný tlaku (Erlanger & Hooker)
- 1904 – nutnost kalibrace nezávislou metodou měření CO (Wezler & Bogler)
- 1970 – plocha pod systolickou částí křivky (Kouchoukos)
- 1993 – plocha pod systolickou částí s korekčním faktorem – 3 kompartmentový Windkessel Model (Wesseling & Jansen)

PULZOVÁ VLNA

HISTORIE



Otto Frank (1865 – 1944)

PULZOVÁ VLNA

FYZIKA A FYZIOLOGIE

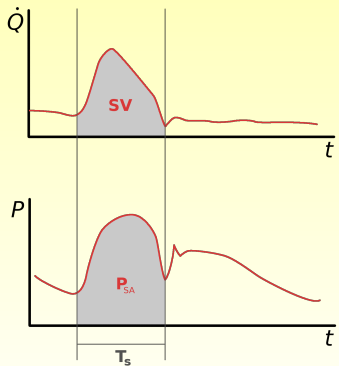
$$Z = \frac{P}{\dot{Q}} = \frac{\rho C}{\pi R^2 \sqrt{(1 - \sigma^2)}} \cdot \frac{1}{\sqrt{M'_{1,0}}}$$

$$\dot{Q} = P \cdot \frac{\pi R^2}{\rho C}$$

$$SV = \int_{T_s} \dot{Q} dt$$

$$SV = \frac{\pi R^2}{\rho C} \cdot \int_{T_s} P dt$$

$$SV = K \cdot P_{SA}$$



PULZOVÁ VLNA

FYZIKA A FYZIOLOGIE

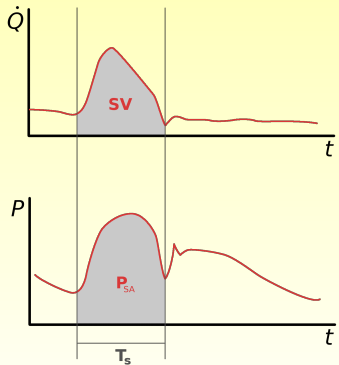
$$Z = \frac{P}{\dot{Q}} = \frac{\rho c}{\pi R^2 \sqrt{(1 - \sigma^2)}} \cdot \frac{1}{\sqrt{M'_{1,0}}}$$

$$\dot{Q} = P \cdot \frac{\pi R^2}{\rho c}$$

$$SV = \int_{T_s} \dot{Q} dt$$

$$SV = \frac{\pi R^2}{\rho c} \cdot \int_{T_s} P dt$$

$$SV = K \cdot P_{SA}$$



PULZOVÁ VLNA

FYZIKA A FYZIOLOGIE

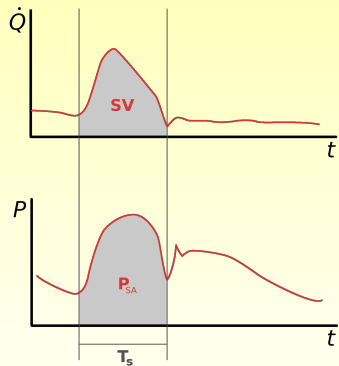
$$Z = \frac{P}{\dot{Q}} = \frac{\rho C}{\pi R^2 \sqrt{(1 - \sigma^2)}} \cdot \frac{1}{\sqrt{M'_{1,0}}}$$

$$\dot{Q} = P \cdot \frac{\pi R^2}{\rho C}$$

$$SV = \int_{T_s} \dot{Q} dt$$

$$SV = \frac{\pi R^2}{\rho C} \cdot \int_{T_s} P dt$$

$$SV = K \cdot P_{SA}$$



PULZOVÁ VLNA

FYZIKA A FYZIOLOGIE

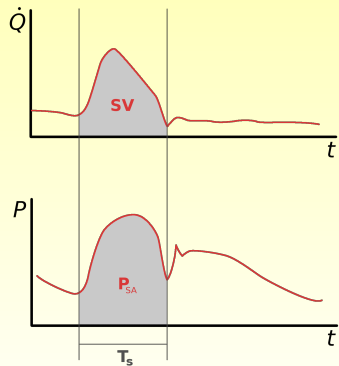
$$Z = \frac{P}{\dot{Q}} = \frac{\rho c}{\pi R^2 \sqrt{(1 - \sigma^2)}} \cdot \frac{1}{\sqrt{M'_{1,0}}}$$

$$\dot{Q} = P \cdot \frac{\pi R^2}{\rho c}$$

$$SV = \int_{T_s} \dot{Q} dt$$

$$SV = \frac{\pi R^2}{\rho c} \cdot \int_{T_s} P dt$$

$$SV = K \cdot P_{SA}$$



PRINCIP *LiDCO*TM

- transpulmonální kalibrace pomocí *LiCl* (diluční metoda)
 - určení konstanty K
 - bolus *LiCl* do CŽK
 - detekce časového průběhu koncentrace v ART
- výpočet *SV* pomocí analýzy systolické části pulzové vlny
 - mnohem složitější algoritmus
- $CO = SV \cdot TF$
- výpočet *SVR* pomocí *CO*, *CVP* a TK_m

PRINCIP *LiDCO*TM

- transpulmonální kalibrace pomocí *LiCl* (diluční metoda)
 - určení konstanty K
 - bolus *LiCl* do CŽK
 - detekce časového průběhu koncentrace v ART
- výpočet *SV* pomocí analýzy systolické části pulzové vlny
 - mnohem složitější algoritmus
- $CO = SV \cdot TF$
- výpočet *SVR* pomocí *CO*, *CVP* a TK_m

PRINCIP *LiDCO*TM

- transpulmonální kalibrace pomocí *LiCl* (diluční metoda)
 - určení konstanty K
 - bolus *LiCl* do CŽK
 - detekce časového průběhu koncentrace v ART
- výpočet *SV* pomocí analýzy systolické části pulzové vlny
 - mnohem složitější algoritmus
- $CO = SV \cdot TF$
- výpočet *SVR* pomocí *CO*, *CVP* a TK_m

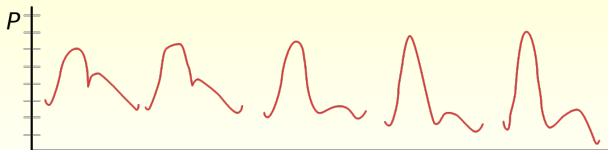
PRINCIP *LiDCO*TM

- transpulmonální kalibrace pomocí *LiCl* (diluční metoda)
 - určení konstanty K
 - bolus *LiCl* do CŽK
 - detekce časového průběhu koncentrace v ART
- výpočet SV pomocí analýzy systolické části pulzové vlny
 - mnohem složitější algoritmus
- $CO = SV \cdot TF$
- výpočet SVR pomocí CO , CVP a TK_m

PRINCIP *LiDCO*TM

PROBLÉMY

- maximální denní dávka *Li* (3 mmol/den)
- interference detekce Li^+ s nedepolarizačními myorelaxancii
- léčba lithiem
- arytmie
- změna tvaru pulzové vlny při průchodu krevním řečištěm



K DALŠÍMU ČTENÍ

-  S. M. Scharf (editor)
Cardiopulmonary Physiology in Critical Care
-  A. Rhodes, R. Sunderland
Arterial Pulse Power Analysis: The LiDCO™ plus system
-  N. T. Kouchoukos, S. L. Sheppard, D. A. McDonald
Estimation of Stroke Volume in the Dog by a Pulse Contour Method
Circ. Res. 1970;26:611-623
-  M. Hlaváč
Windkessel model analysis in MATLAB



Thanks, Wikipedia.

LATEX 2 ε

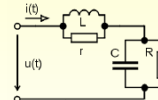
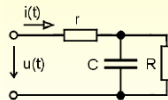
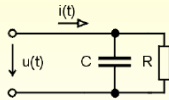
FICKŮV PRINCIP

- $\dot{V}O_2 = D_{A-V} \cdot CO$, kde $D_{A-V} = C_a O_2 - C_v O_2$
- $CO = \frac{\dot{V}O_2}{D_{A-V}}$
- měříme:
 - frakci O_2 ve vdechovaném a vydechovaném plynu a jeho množství za jednotku času (určení $\dot{V}O_2$)
 - množství O_2 v arteriální ($C_a O_2$) a venózní ($C_v O_2$) krvi
- nutný **ustálený stav** (řádově minuty)
- zdroje chyb:
 - nutný ustálený stav \Rightarrow žádné změny ve vazopresorech během měření
 - nutný konstantní dechový objem (bronchospasmus, poloha těla, ...)
 - $C_a O_2$ měřeno spektrofotometricky (abnormální Hb, metylenová modř, indocyaninová zelen)

WINDKESSEL MODEL

- Otto Frank (1899)
- srdce a cévní systém jako uzavřený hydraulický systém naplněný vodou kromě malé vzduchové kapsy (*windkessel* = vzduchová kapsa)
- analogie RLC obvodu

| | | | | | |
|-----|------------|-------------|-----|--------|-------------|
| R | odpor | rezistence | I | proud | průtok krve |
| C | kapacita | poddajnost | U | napětí | tlak krve |
| L | indukčnost | setrvačnost | | | |

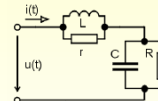
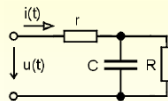
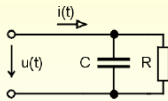


- Kirchhoffovy zákony (1847)

WINDKESSEL MODEL

- Otto Frank (1899)
- srdce a cévní systém jako uzavřený hydraulický systém naplněný vodou kromě malé vzduchové kapsy (*windkessel* = vzduchová kapsa)
- analogie RLC obvodu

| | | | | | |
|-----|------------|--------------------|-----|--------|--------------------|
| R | odpor | rezistence | I | proud | průtok krve |
| C | kapacita | poddajnost | U | napětí | tlak krve |
| L | indukčnost | setrvačnost | | | |



- Kirchhoffovy zákony (1847)